

## 地球の気候システム：現在の地球環境・エネルギー収支・温室効果

地球の気候システム（地表温度）の決定要因：

1. 地球軌道上での太陽放射量（年間日射量）
2. 地球の反射率（惑星アルベド）
3. 大気の温室効果（温室効果ガスの量：CO<sub>2</sub>量）

[現在]

1. 太陽放射量：1370 W/m<sup>2</sup>

2. 惑星アルベド：0.3

地球の吸収するエネルギー（太陽放射の70%）と  
地球の放射するエネルギー（地球放射）の均衡  
・・・有効放射温度（T<sub>e</sub>）= -18°C

3. 温室効果：CO<sub>2</sub> 0.03%（温室効果 = +33°C）  
→ 平均地表気温 15°C、水が液体として存在

### ◆太陽放射（S: Solar Flux）

**地球軌道上：1370 W/m<sup>2</sup>** (人工衛星観測)

(単位時間・単位面積当たりのエネルギー量)

地球がうける太陽放射エネルギー量（毎分）

$$= S \times (\text{地球断面積}) \times 60\text{秒} = 1.1 \times 10^{19} \text{ J/分}$$

$$= \text{石炭燃焼 } 8 \times 10^{17} \text{ ton/分}$$

(原発1基：100万kW =  $1 \times 10^9 \text{ J/s} = 6 \times 10^{10} \text{ J/分} \dots \text{約} 2 \times 10^8 \text{ 基「2億基」}$ )

・火山  $1.87 \times 10^{-3} \text{ W/m}^2$   
( $3.0 \times 10^{19} \text{ J/年} \dots \text{1年分=太陽放射の約1分間分}$ )

・温泉/地熱  $0.12 \times 10^{-3}$

・地震  $2.5 \sim 4.4 \times 10^{-5}$

・地殻熱流量  $87 \times 10^{-3}$

( $0.39 \times 10^{19} \text{ J/日} \dots \text{3日分=太陽放射の約1分間分}$ )

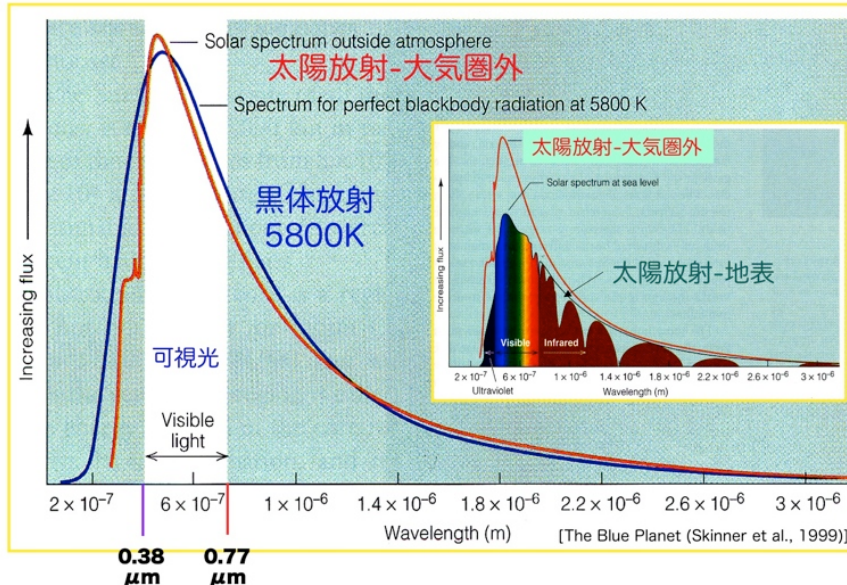
人間活動  
エネルギー消費量

$2 \times 10^{20} \text{ J/年}$

(鹿園, 1992)

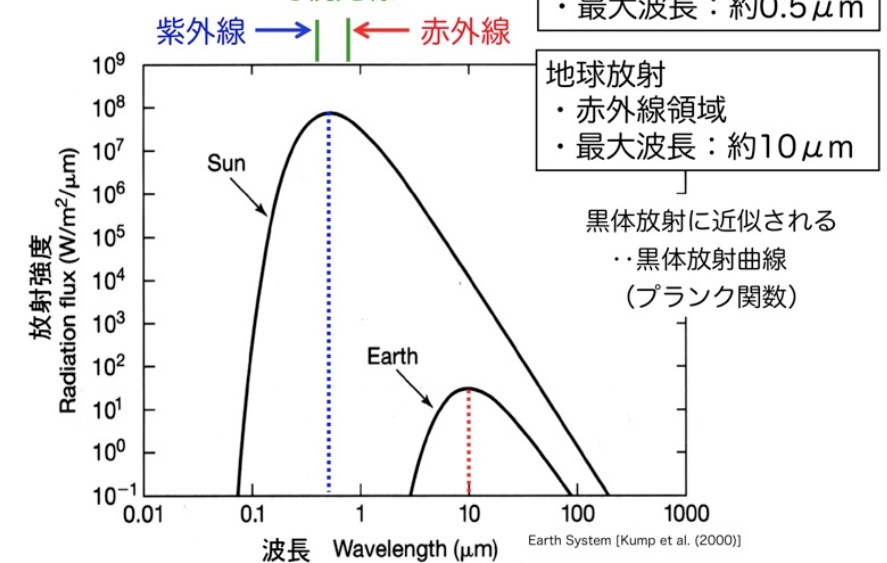
$= 5.5 \times 10^{17} \text{ J/日}$   
(20日分=太陽放射の約1分間分)

### 太陽放射



### 太陽放射・地球放射

可視光線  
紫外線 → | ← 赤外線

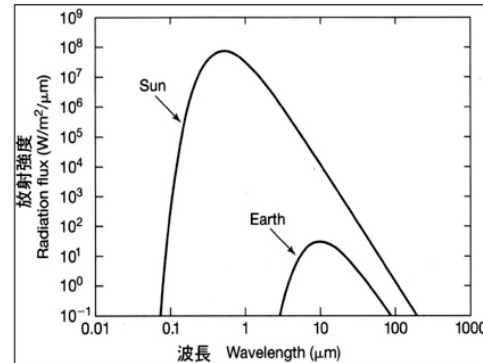


## 「黒体放射」

1) ヴィーンの変位法則

最大波長 ( $\mu\text{m}$ )

$$= 2898 / \text{絶対温度(K)}$$



2) ステファン-ボルツマンの法則

(Stefan-Boltzmann: シュテファン-ボルツマン)

放射エネルギー全量 [F] ( $\text{W}/\text{m}^2$ )

$$= \sigma \cdot [\text{絶対温度(K)}]^4$$

[ステファン-ボルツマン定数:  $\sigma = 5.67 \times 10^{-8} \text{ W}/(\text{m}^2\text{K}^4)$ ]

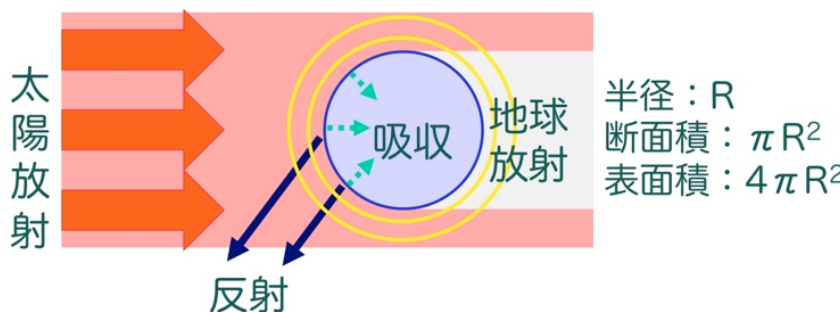
## 地球の放出するエネルギー

$E_{\text{em}} = [\text{表面積}] \times [\text{地球放射エネルギー}]$

$$= 4\pi R^2 \times \sigma T_e^4 \quad (T_e: \text{地表の温度})$$

- ・ 地球放射: 黒体放射

- ・ ステファン-ボルツマンの法則

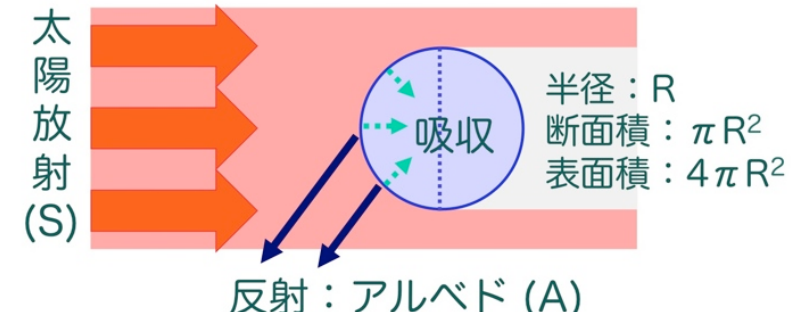


## 地球の吸収するエネルギー

= [地球が受ける太陽放射エネルギー:  $E_{\text{in}}$ ]

- [地球が反射する太陽放射エネルギー:  $E_{\text{ref}}$ ]

$$E_{\text{ab}} = E_{\text{in}} - E_{\text{ref}} = \pi R^2 S (1 - A)$$



## 有効放射温度: $T_e$

$$T_e^4 = S(1 - A) / 4\sigma$$

[地球] 太陽放射(S) =  $1370 \text{ W}/\text{m}^2$

アルベド(A) = 0.3

$$\sigma = 5.67 \times 10^{-8} \text{ W}/(\text{m}^2\text{K}^4)$$

$$\therefore T_e = 255 \text{ K} = -18^\circ\text{C}$$

平均地表温度  $T_s = 288 \text{ K} = 15^\circ\text{C}$

$$\Delta T = T_s - T_e = \Delta T_g = 33^\circ\text{C}$$

大気の温室効果

# 大気の組成

表 2.4 地表付近の大気組成。  
(小倉, 1984; Fegley, 1995にもとづく)

成 分	分子量	容積比(%)	重量比(%)	その他温室効果ガス	容積比(%)
窒素 N <sub>2</sub>	28.01	78.088	75.527	水蒸気 H <sub>2</sub> O	1×10 <sup>-5</sup> - 4
酸素 O <sub>2</sub>	32.00	20.949	23.143		(南極) - (熱帯)
アルゴン Ar	39.94	0.93	1.282	フロン (8 μm-12 μmに吸収域を持つ)	
● 二酸化炭素 CO <sub>2</sub>	44.01	0.03	0.0456	Freon-11 CCl <sub>3</sub> F	2.6×10 <sup>-9</sup>
ネオン Ne	20.18	1.8×10 <sup>-3</sup>	1.25×10 <sup>-3</sup>	Freon-12 CCl <sub>2</sub> F <sub>2</sub>	4.7×10 <sup>-9</sup>
ヘリウム He	4.00	5.24×10 <sup>-4</sup>	7.24×10 <sup>-5</sup>		
● メタン CH <sub>4</sub>	16.05	1.4×10 <sup>-4</sup>	7.25×10 <sup>-5</sup>		
クリプトン Kr	83.70	1.14×10 <sup>-4</sup>	3.30×10 <sup>-4</sup>		
水素 H <sub>2</sub>	2.02	5×10 <sup>-5</sup>	3.48×10 <sup>-6</sup>		
● 一酸化二窒素 N <sub>2</sub> O	44.02	5×10 <sup>-5</sup>	7.6×10 <sup>-5</sup>		
一酸化炭素 CO	28.01	1×10 <sup>-5</sup>	1×10 <sup>-5</sup>		
キセノン Xe	131.29	8.7×10 <sup>-6</sup>	3.9×10 <sup>-5</sup>		
● オゾン O <sub>3</sub>	48.00	2×10 <sup>-6</sup>	3×10 <sup>-6</sup>		
塩化水素 HCl	36.46	1×10 <sup>-7</sup>	1.3×10 <sup>-7</sup>		
* 二酸化炭素 CO <sub>2</sub> 0.0368 (1999)					
● : 温室効果ガス					

(岩波講座地球惑星科学2, 1996)

## 大気の吸収特性

- 紫外線・吸収 - O<sub>3</sub>
- 可視光線・透過
- 赤外線・吸収・透過  
H<sub>2</sub>O / CO<sub>2</sub>

### 太陽放射

可視光線として地表まで入射

### 地球放射

12 μm < H<sub>2</sub>O により

ほぼ100%吸収

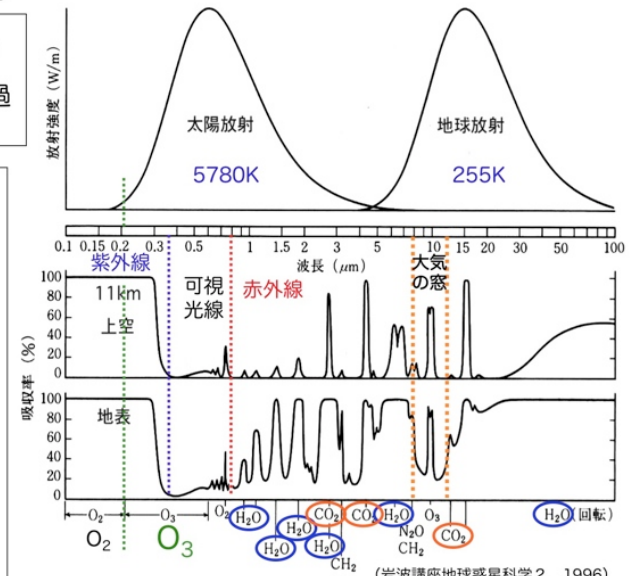
15 μm

CO<sub>2</sub>による吸収

8~12 μm

大気の窓

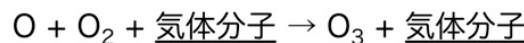
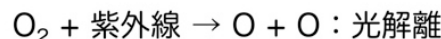
→ Freon-11, O<sub>3</sub>が吸収



## 大気の吸収特性

### ◆ 紫外線の吸収

#### ○ オゾンの形成



衝突 N<sub>2</sub>, O<sub>2</sub> 衝突のエネルギー吸収  
→ 速度を増す → 温度上昇

#### ○ オゾンの分解: O<sub>3</sub> + 紫外線 → O<sub>2</sub> + O

\* 形成/分解の平衡 → オゾン層の濃度一定

### ◆ 赤外線の吸収

#### ○ 気体分子の回転: H<sub>2</sub>O - 波長10 μm以上 (cf. 電子レンジ)

#### ○ 気体分子の曲げ振動: H<sub>2</sub>O - 波長6.3 μm

CO<sub>2</sub> - 波長15 μm

#### ○ 気体分子の非対称振動: CO<sub>2</sub> - 波長4.3 μm

## 地球の気候システム

★ 地表温度: 15°C, 水が液体として存在

### 決定要因:

1. 地球軌道上での太陽放射 (S: 1370 W/m<sup>2</sup>)
2. 地球の反射率 (アルベド: 0.3)

地球の吸収するエネルギー (太陽放射の70%) と  
地球の放射するエネルギー (地球放射) の均衡  
... 有効放射温度 (Te) = -18°C

### 3. 大気の温室効果 (ΔTg = 33°C)

● 温室効果ガス: CO<sub>2</sub>, CH<sub>4</sub>, N<sub>2</sub>O, O<sub>3</sub>, H<sub>2</sub>O, ...

### ● 大気の吸収特性

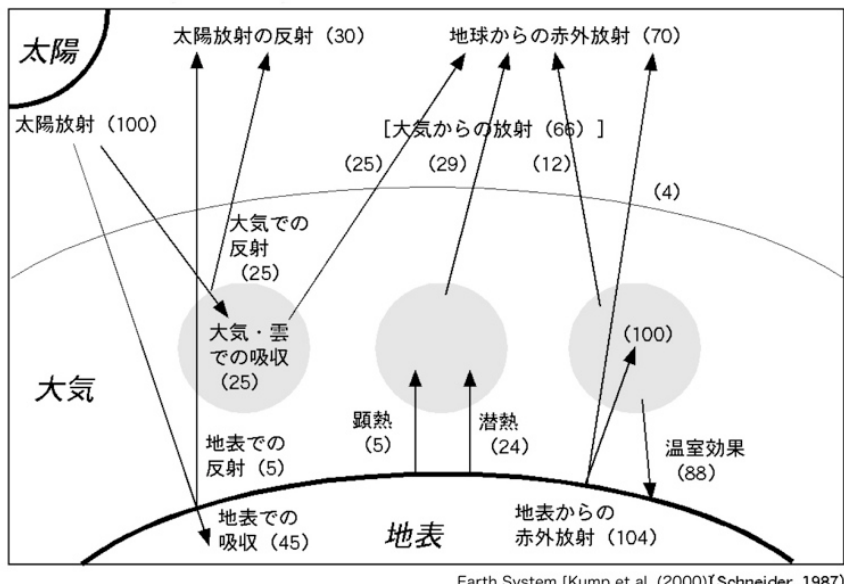
紫外線: O<sub>3</sub>により吸収, 可視光線: 透過

赤外線: H<sub>2</sub>O, CO<sub>2</sub>による吸収帯がある

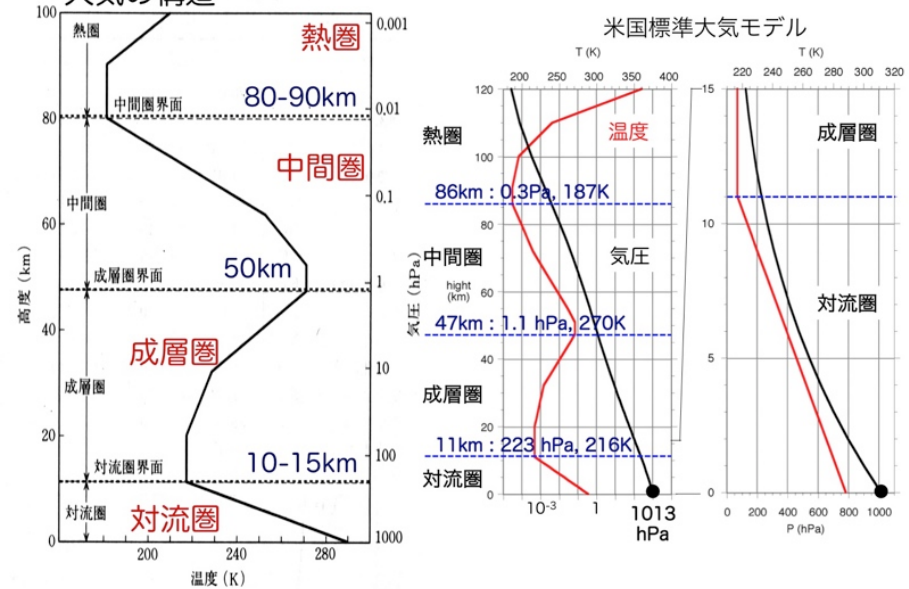
### ● 太陽放射: 紫外線は吸収, 可視光として地表へ

地球放射: 赤外線域一大気にによる吸収 → 温室効果

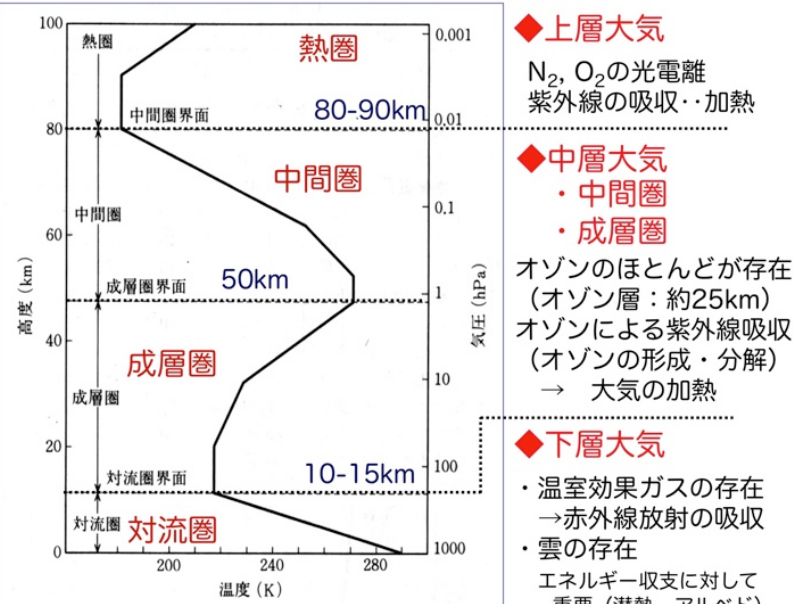
## 地球-大気系のエネルギー収支



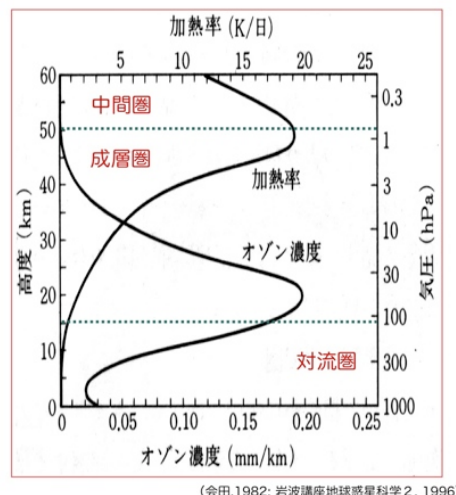
## 大気の構造



## 大気の構造



## オゾン濃度とオゾンによる加熱率



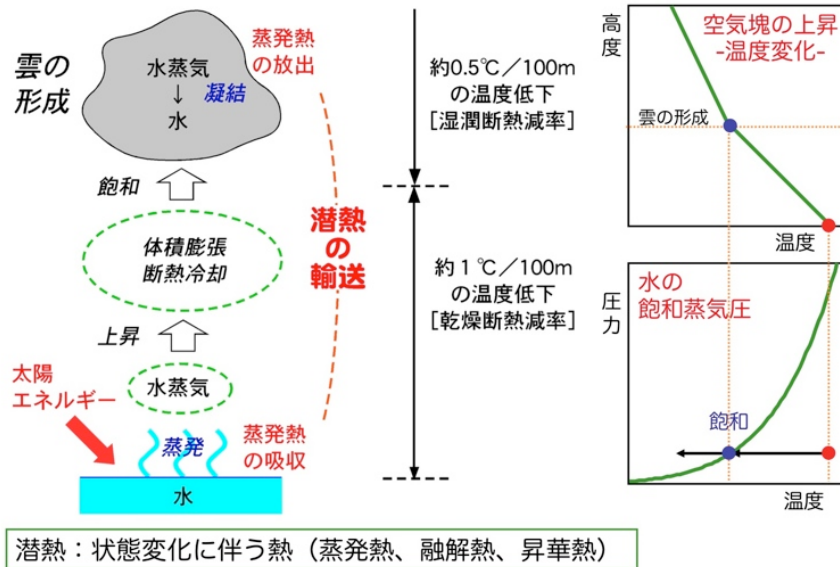
### ◆オゾンの形成

- ・O<sub>2</sub>量…下層ほど多
  - ・紫外線強度…上層ほど多
  - ・介在分子量…下層ほど多
- ↓  
オゾン量極大  
約25km付近

### ◆オゾンの紫外線吸収による加熱

- ・紫外線強度…上層ほど強
  - ・大気の熱容量…下層ほど大
- ↓  
加熱率極大  
約50km付近

## ◆雲の形成：潜熱輸送



## 雲の種類（10種雲形）

上層雲…5-13km

巻雲 Ci

巻積雲 Cs

巻層雲 Cc

中層雲…2-7km

高積雲 Ac

高層雲 As

上層まで広がる

乱層雲 Ns

上層・下層に広がる

下層雲…～2km

層積雲 Sc

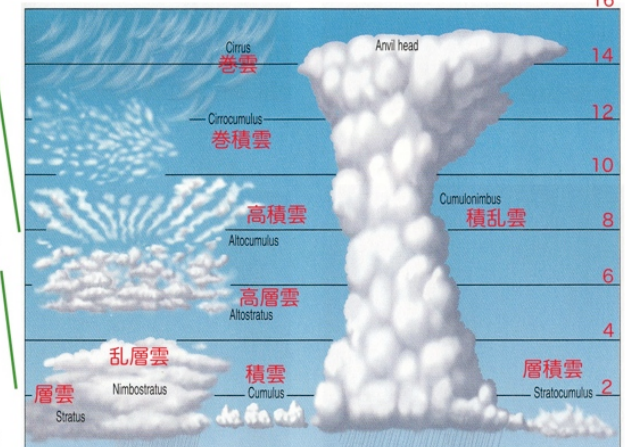
層雲 St

積雲 Cu

積乱雲 Cb

雲底は下層、雲頂は中層・上層に及ぶ

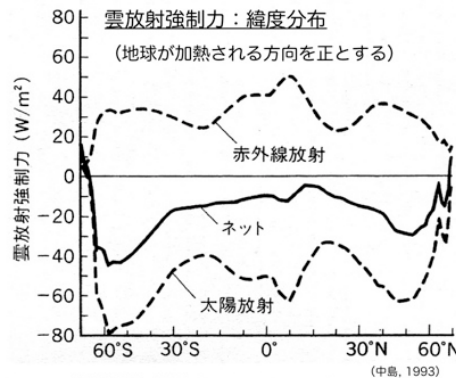
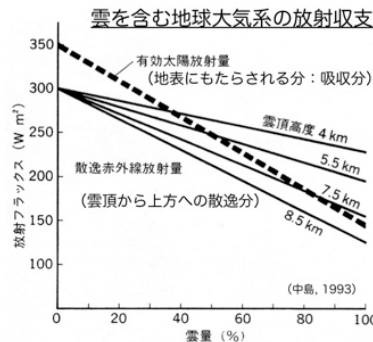
高さ：上層、中層、下層  
形：層雲、積雲



(The Blue Planet, Skinner et al., 1999)

## 雲の効果

- ◆昼間：入射光を反射（寒い）…日傘効果  
夜間：反射光を吸収（暖かい）…温室効果
- ◆アルベドを高める  
雲がなければ、 $A=0.1$  … 日傘効果  
〔アルベド 海洋：0.06、陸域：0.2；面積比 海：陸 = 7 : 3〕
- ◆上層の薄い雲（氷の結晶からなる。低温）  
太陽放射は透過、地表からの赤外線放射を吸収  
自身の赤外線放射は少ない→温室効果に寄与
- ◆下層の厚い雲  
太陽放射を反射  
高温のため自身の赤外線放射が多い  
→ 温室効果への寄与は上層雲より少ない。  
「日傘効果」



## 気候システムのフィードバックループ

### (1) 水蒸気フィードバック



cf. 二酸化炭素

現在の2倍の量 → 地表温度1.2°Cの上昇

### (2) 雪・氷によるフィードバック



…長いタイムスケール。氷期-間氷期サイクルで重要

## 気候システムのフィードバックループ

### (3) 赤外線放射-地表温度のフィードバック



### (4) 雲アルベド・フィードバック



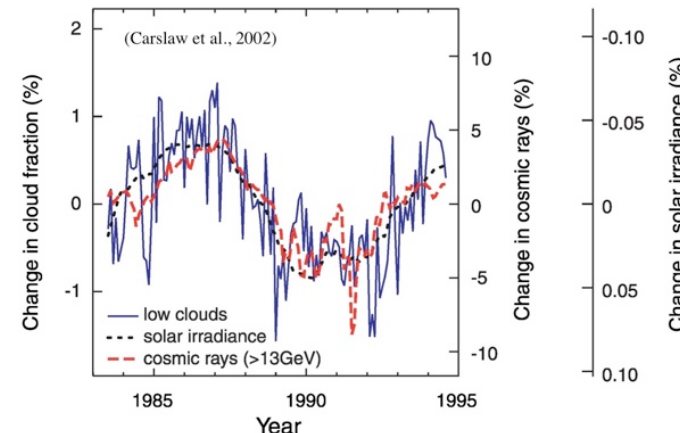
しかし・・・

- ・雲の種類により、太陽光の遮断、温室効果の度合は異なる。
- ・対流圏の雲の存在量は気候が変わっても大差ない(50%)。



## 惑星アルベド：雲量

太陽放射量、下層雲の雲量、銀河宇宙線の変動の相関性



## 気候システムのフィードバックループ

### (5) その他

#### ◎負の相互作用（カップリング）

##### ◆火山活動による成層圏エアロゾル

太陽光の遮断効果・「日傘効果」

(例)

- ・ピナツボ火山の噴火
- ・“隕石の衝突”（白亜紀-第三紀境界：恐竜の絶滅）

##### ◆人間活動による硫酸エアロゾル

→下層雲の形成・「日傘効果」

エアロゾル：大気中を浮遊する0.001~10 μmの微粒子

\*硫黄酸化物SOx、窒素酸化物NOx：大気中で硫酸 ( $H_2SO_4$ )、硝酸 ( $HNO_3$ ) となり、それが凝結してエアロゾルになる。

▶地表での太陽光の減少 → 地表温度の低下

▶雲の凝結核 → 下層雲の形成

▷酸性雨の原因